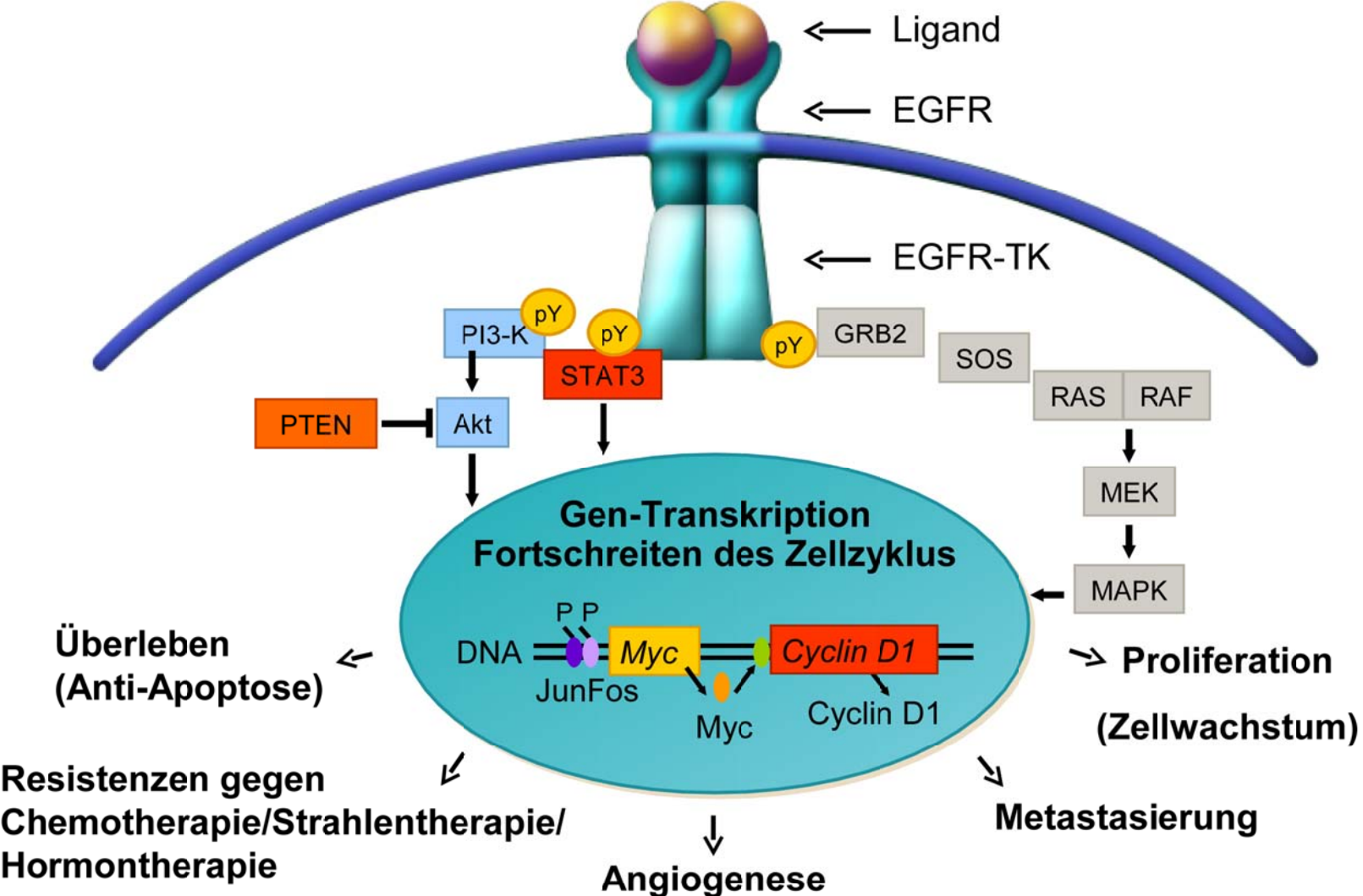


KLINISCHE RATIONALE FÜR DEN EINSATZ DER ERSTEN ZIELGERICHTETEN MONOTHERAPIE BEI NSCLC IN DER 1ST LINE



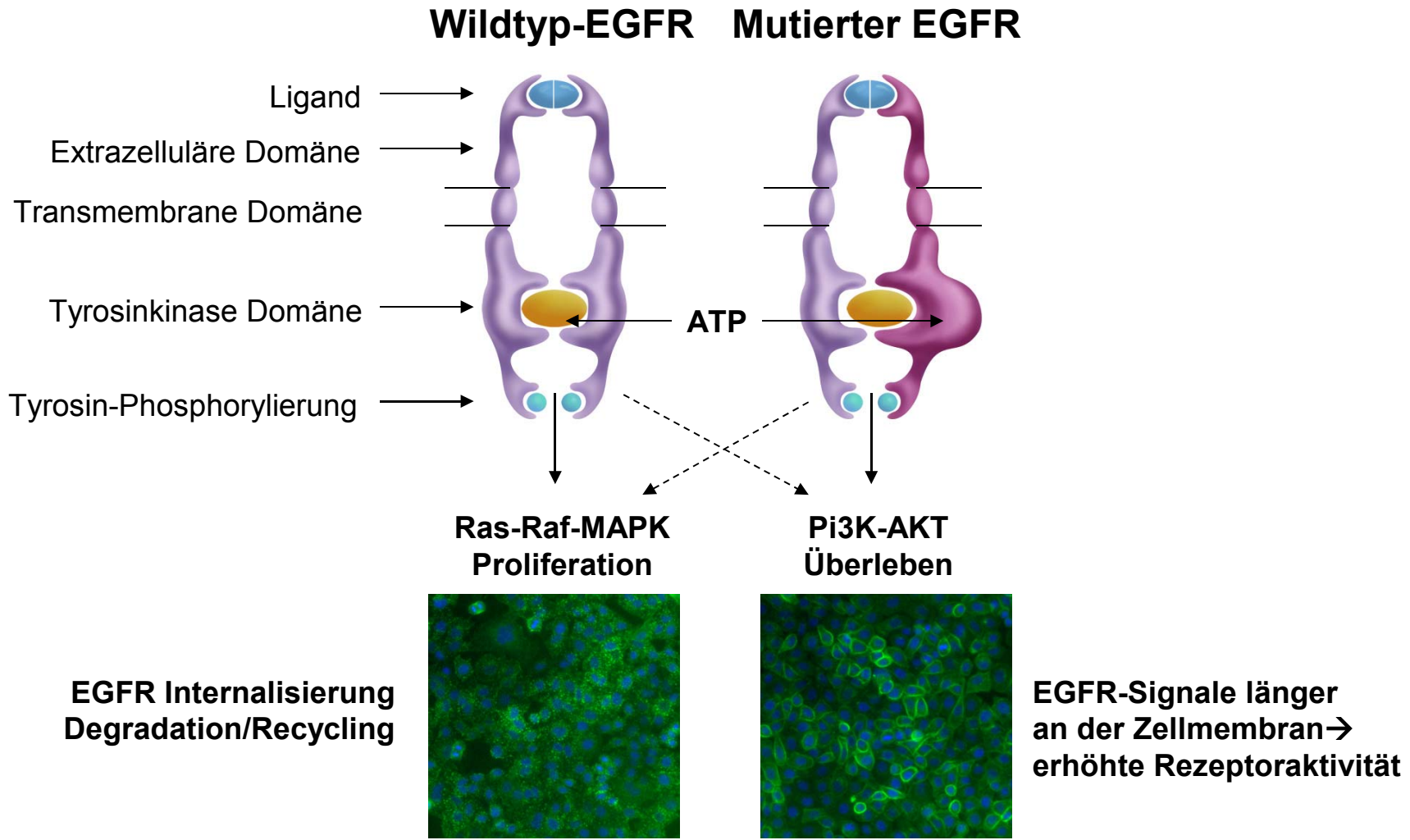
Andrea Mohn-Staudner
OWS, 2. Interne Abteilung
Wien

Die Aktivierung von EGFR: Zentraler Faktor bei der Tumorentwicklung

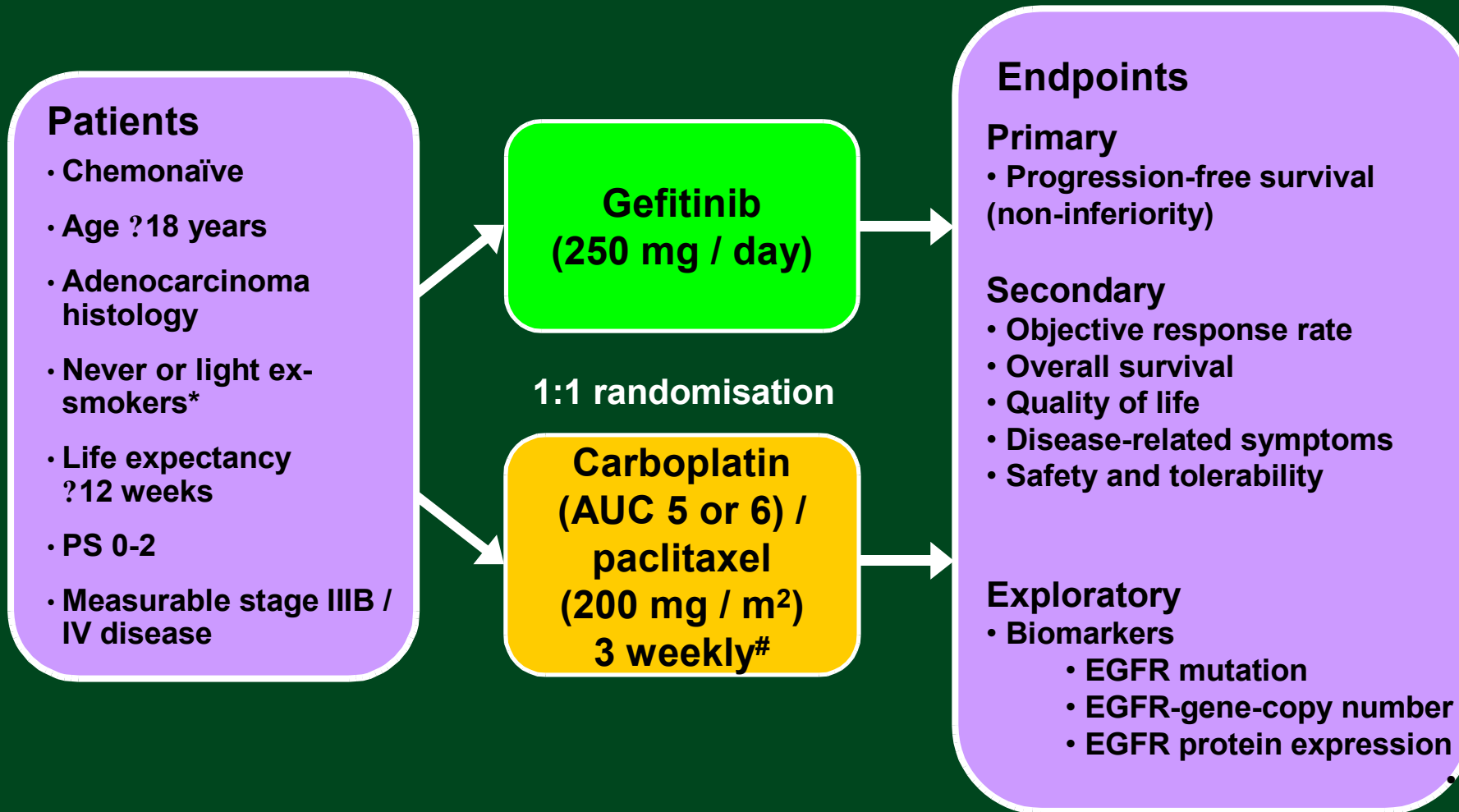


Wells A Int J Biochem Cell Biol 1999; 31: 637-643
 Baselga J et al. Signal 2000; 1: 12-21

Mutation bewirkt konformative Änderung und zunehmende Aktivierung



Study design

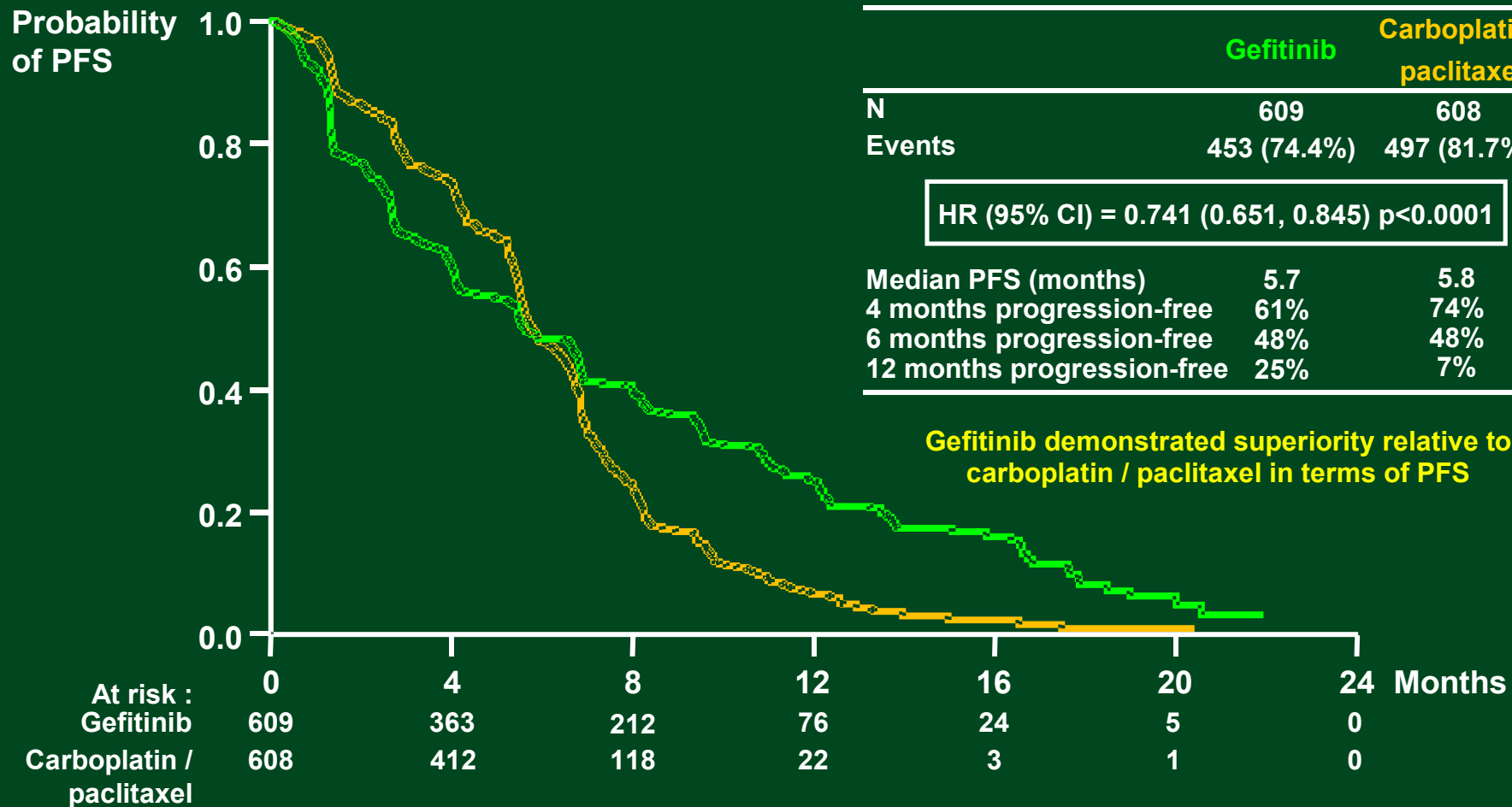


*Never smokers, <100 cigarettes in lifetime; light ex-smokers, stopped ≥15 years ago and smoked ≤10 pack years; #limited to a maximum of 6 cycles

Carboplatin / paclitaxel was offered to gefitinib patients upon progression

PS, performance status; EGFR, epidermal growth factor receptor

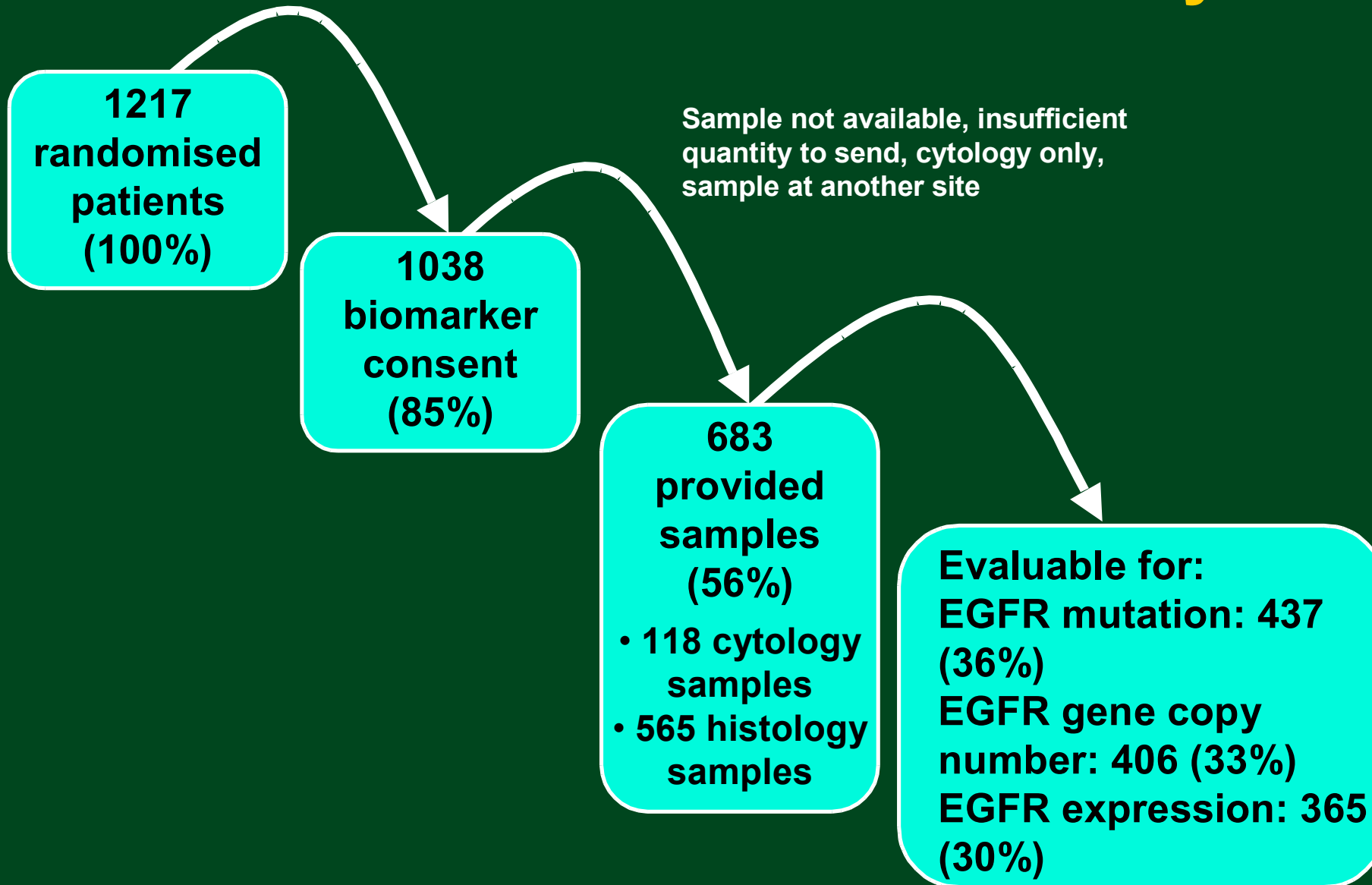
Progression-free survival in ITT population



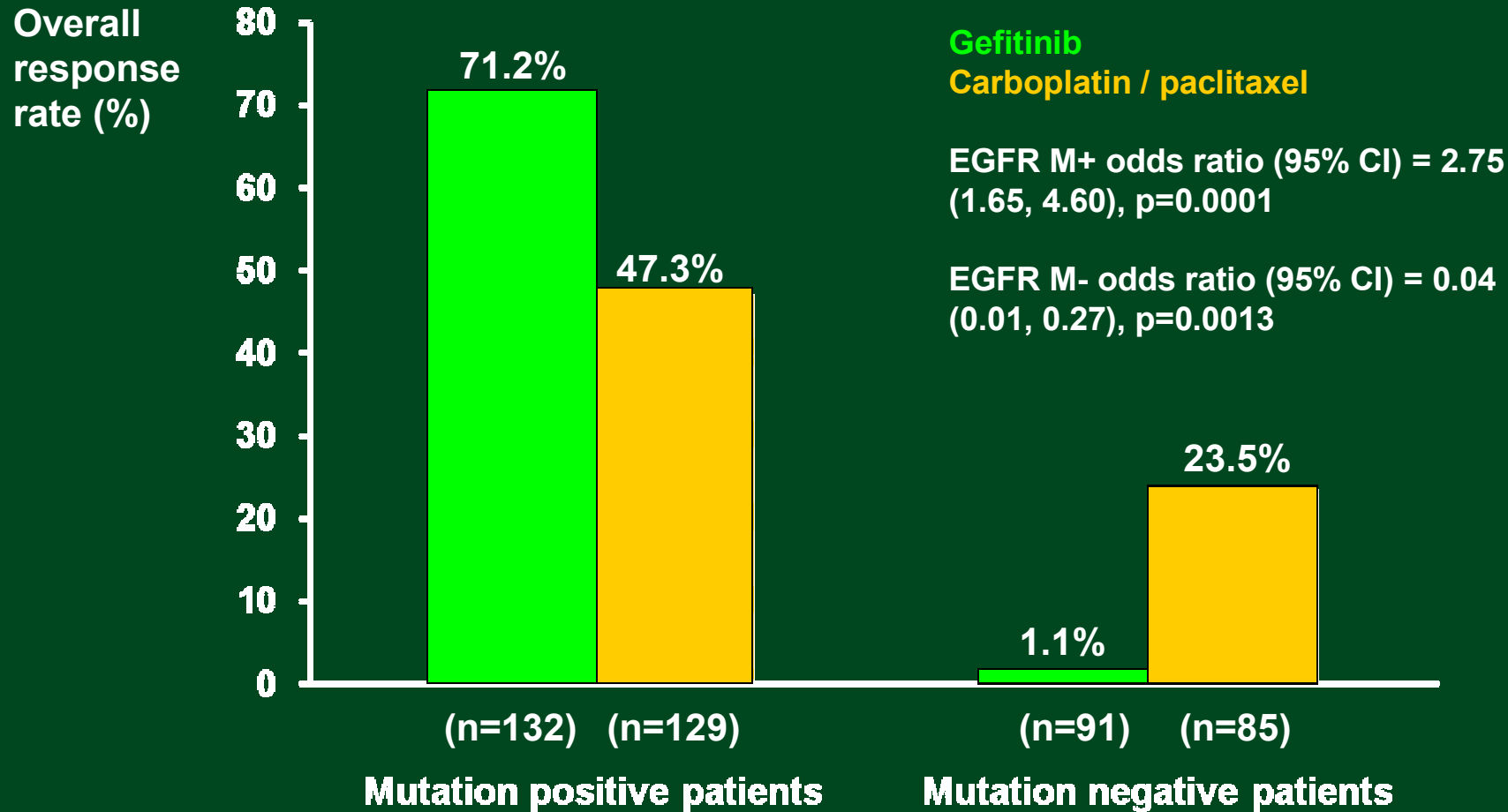
Primary Cox analysis with covariates
 HR <1 implies a lower risk of progression on gefitinib

Mok et al, NEJM 2009

Attrition rates in biomarker analysis



Objective response rate in EGFR mutation positive and negative patients

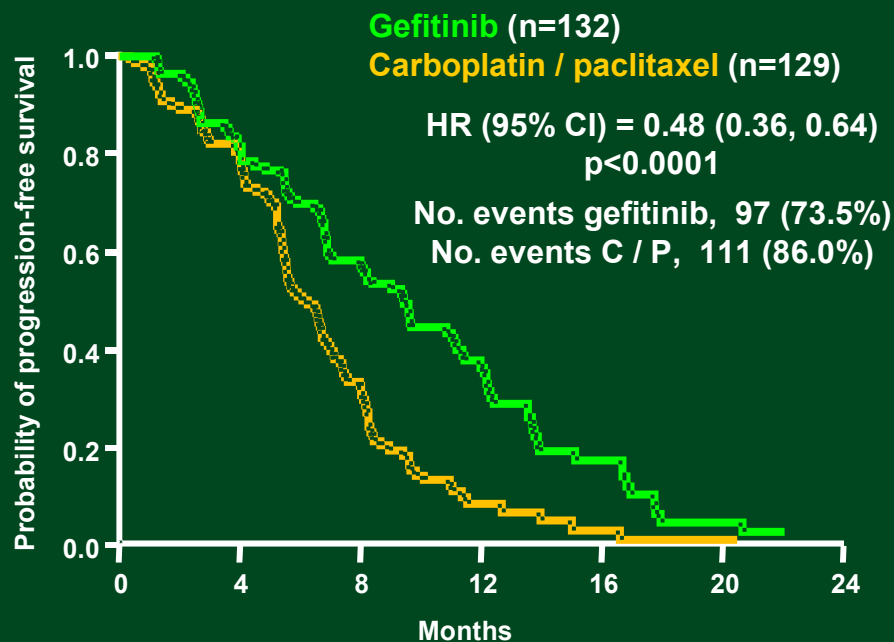


Odds ratio >1 implies greater chance of response on gefitinib

Mok et al, NEJM 2009

Progression-free survival in EGFR mutation positive and negative patients

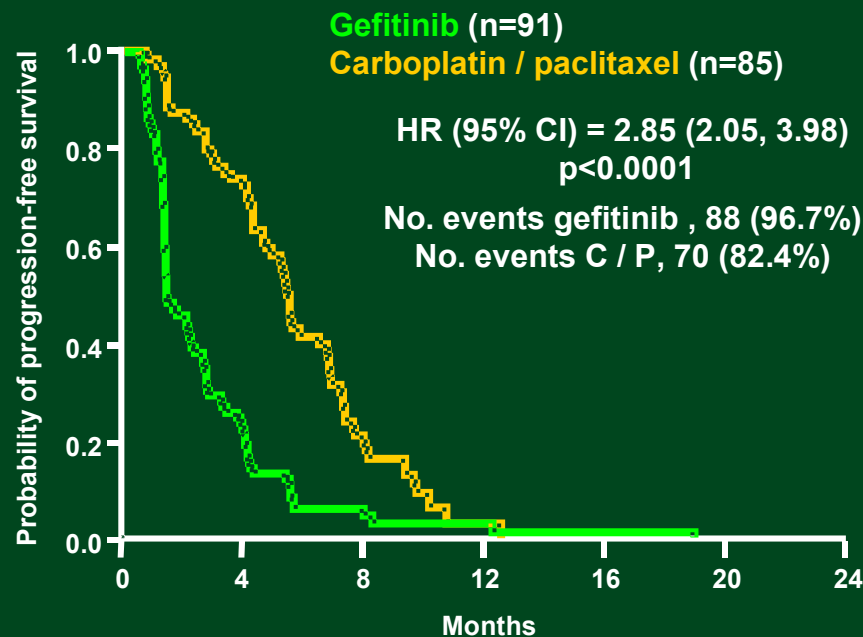
EGFR mutation positive



At risk :

Gefitinib	132	108	71	31	11	3	0
C / P	129	103	37	7	2	1	0

EGFR mutation negative



Gefitinib	91	21	4	2	1	0	0
C / P	85	58	14	1	0	0	0

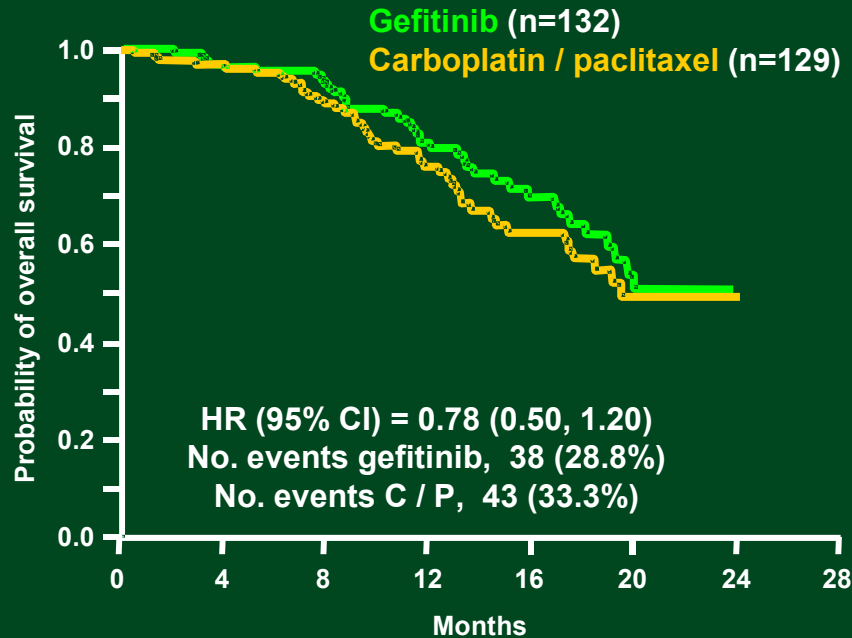
Treatment by subgroup interaction test, p<0.0001

ITT population
 Cox analysis with covariates

Mok et al, NEJM 2009

Overall survival in EGFR mutation positive and negative patients

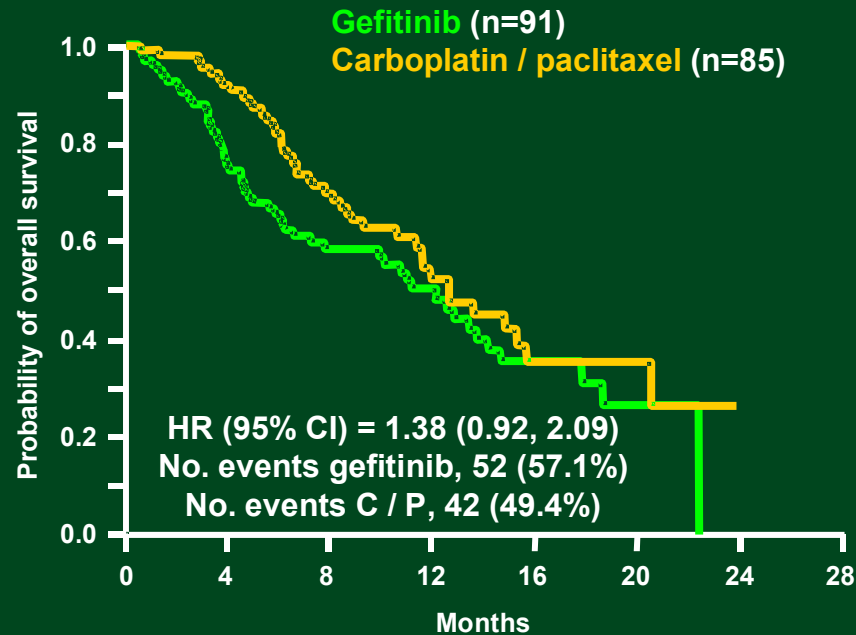
EGFR mutation positive



Patients at risk:

Gefitinib	132	126	114	73	41	17	0	0
C / P	129	123	105	67	38	15	1	0

EGFR mutation negative



Gefitinib	91	69	44	25	13	5	0	0
C / P	85	75	55	24	9	4	0	0

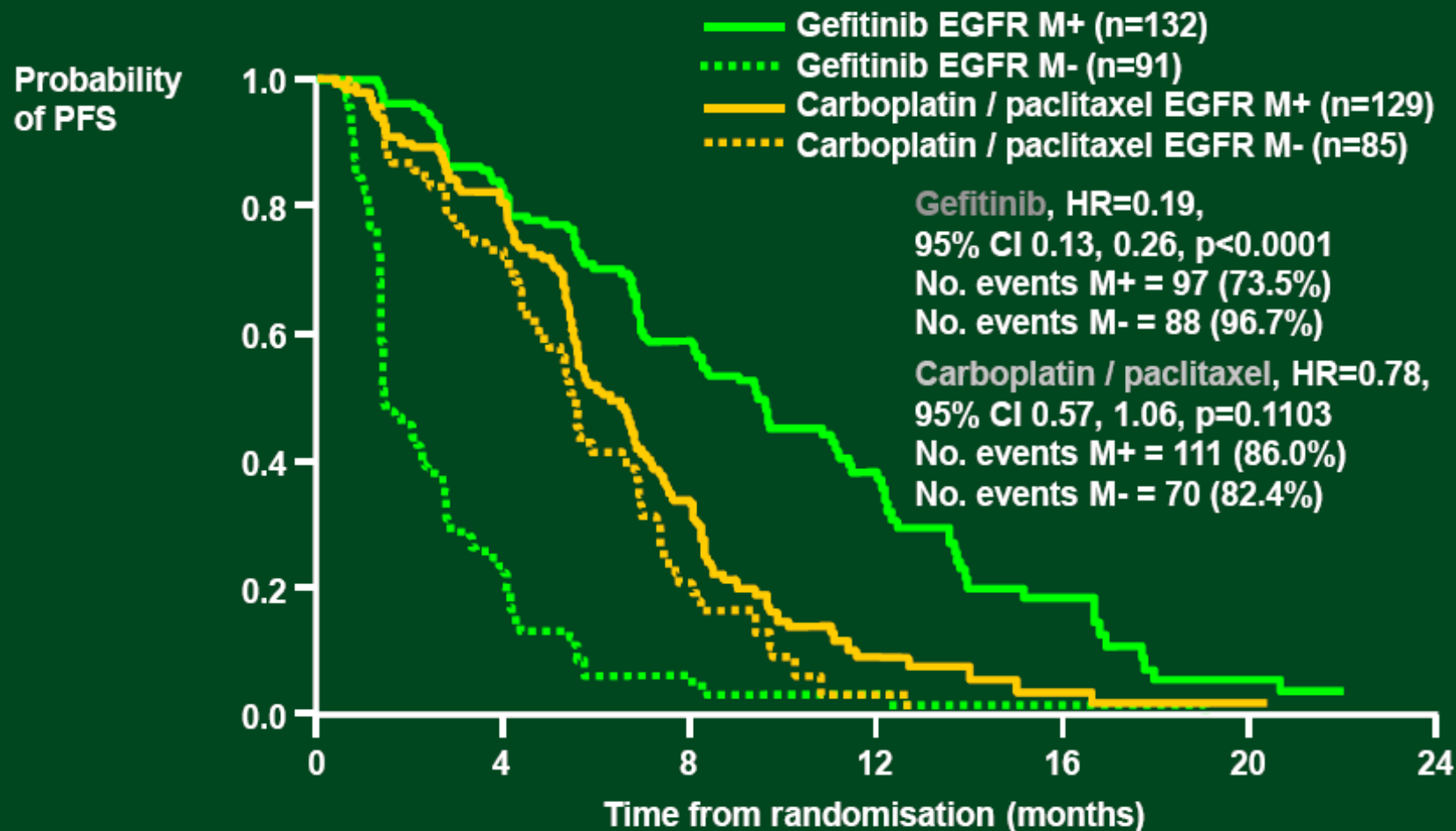
Cox analysis with covariates

HR <1 implies a lower risk of death on gefitinib

ITT population

Post-hoc analysis of overall survival by EGFR mutation status

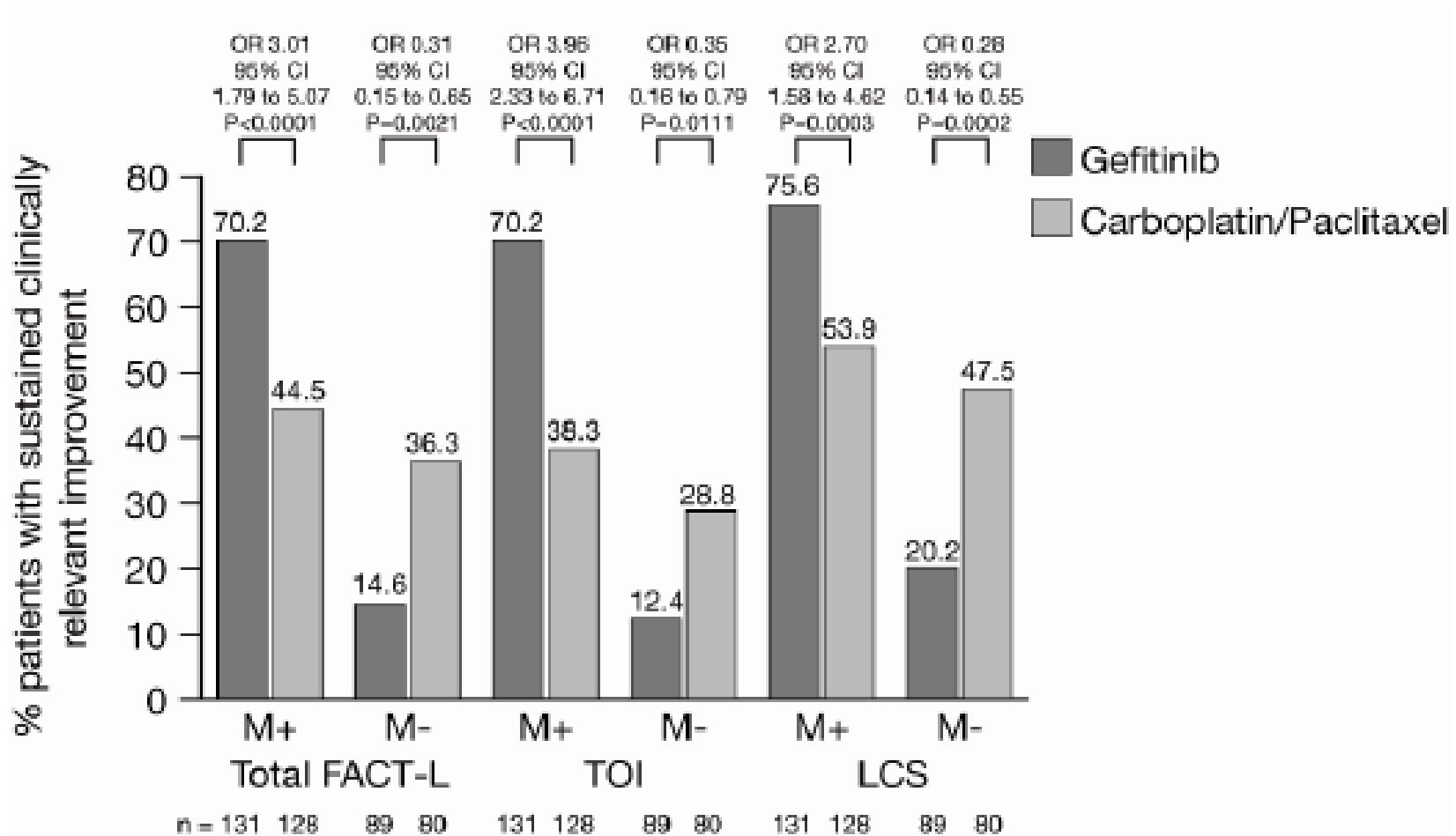
Comparison of PFS by mutation status within treatment arms



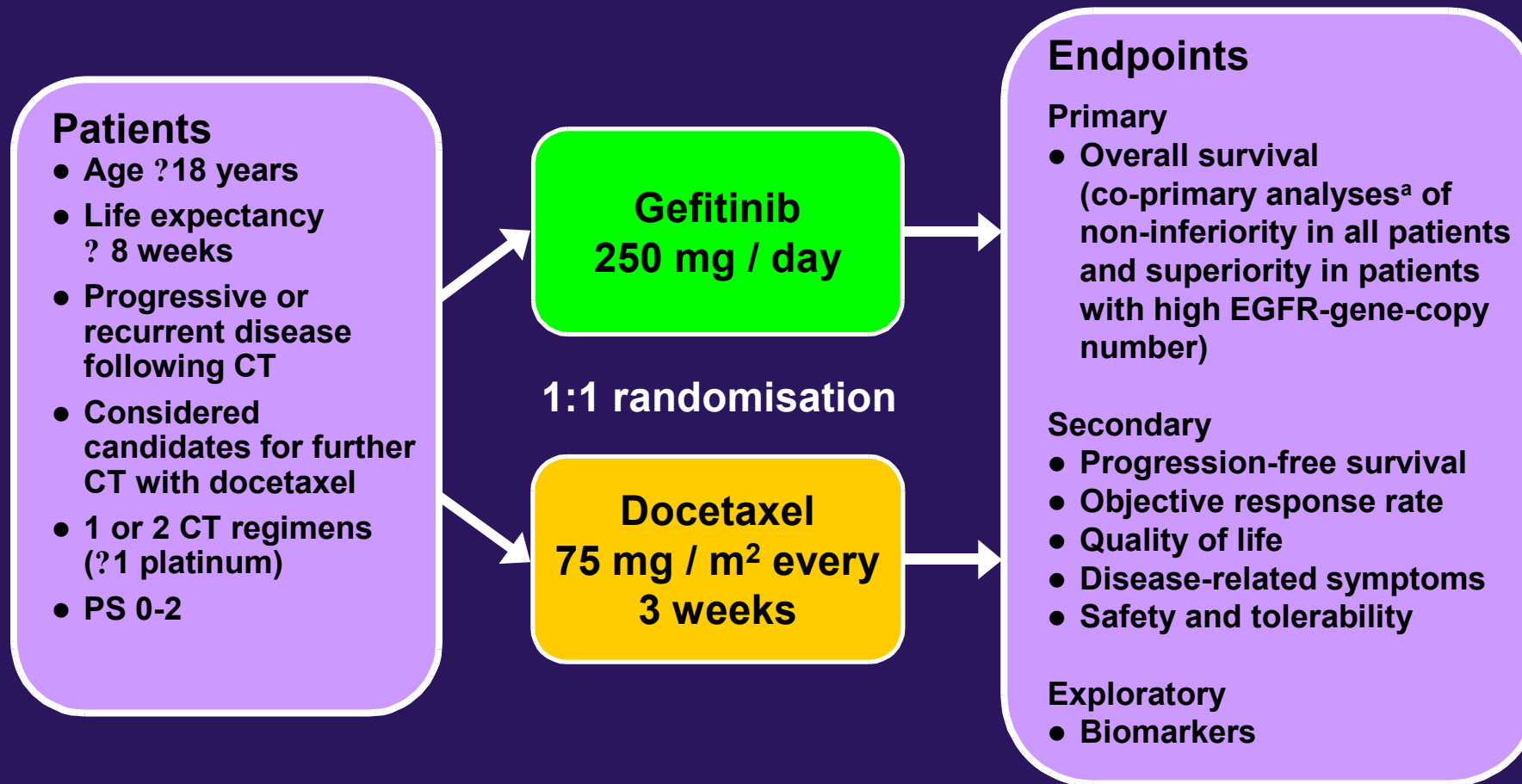
Hazard ratio <1 implies a lower risk of progression in the M+ group than in the M- group
M+, mutation positive; M-, mutation negative

Mok et al, NEJM 2009

IPASS: Lebensqualität und Symptomatik

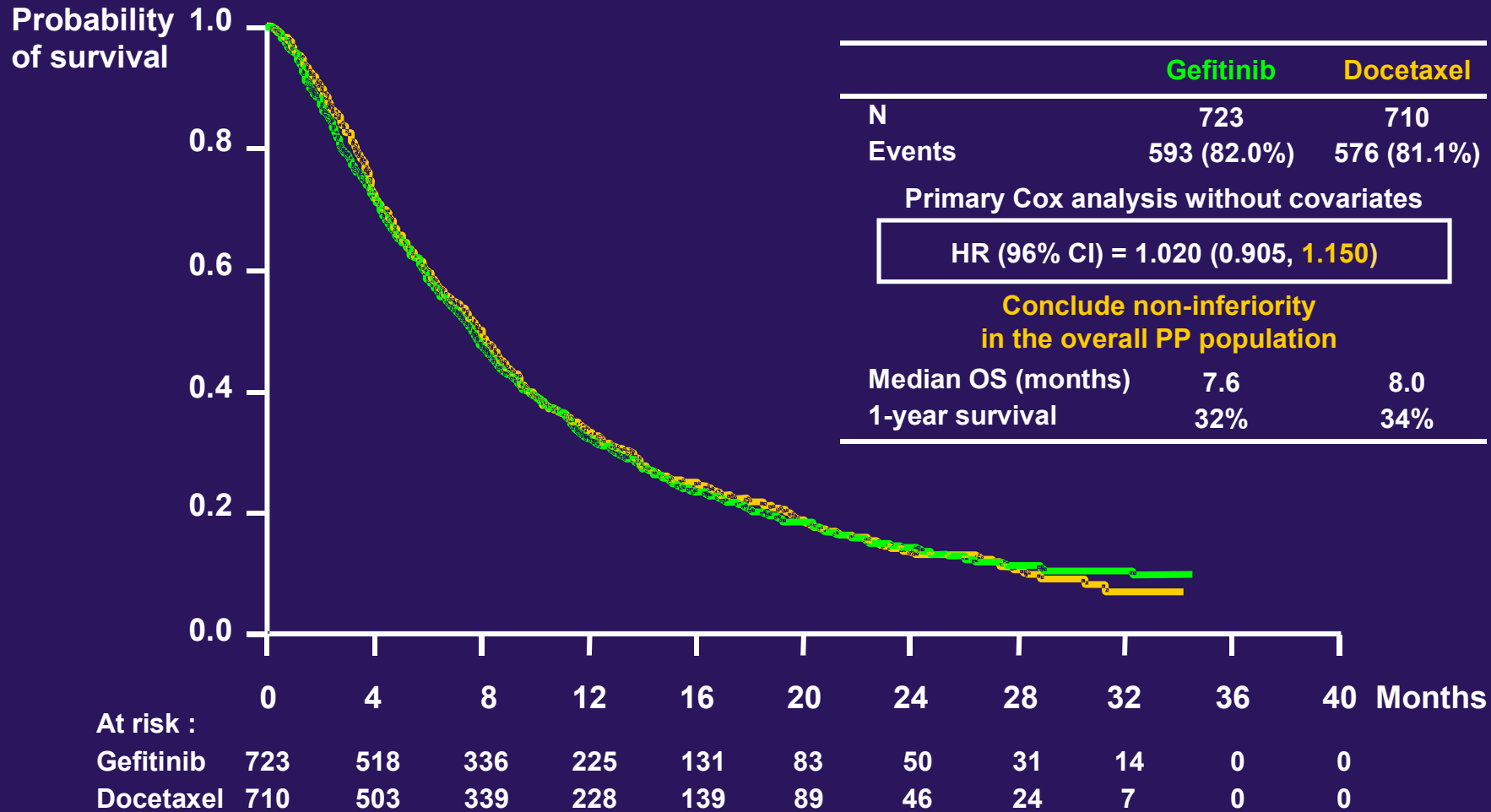


INTEREST study design



^aModified Hochberg procedure applied to control for multiple testing
CT, chemotherapy; PS, performance status

Overall survival



Per-protocol (PP) population

Pre-specified NI limit in HR terms (translates to $\geq 50\%$ effect retention [Rothmann 2003]) = 1.154

NI, non-inferiority; HR, hazard ratio; OS, overall survival

Kim et al. Lancet 2008

INTEREST: Subgruppenanalyse bei vortherapierten EGFR mutierten NSCLC

Population	N	Objektive Ansprechrate und 95 % KI für Unterschiede zwischen den Behandlungen ^a	Progressionsfreies Überleben ^{ab}	Primärer Endpunkt Gesamtüberleben ^{ab}
Gesamt	1466	9,1 % vs. 7,6 % [-1,5 %; 4,5 %]	HR 1,04 [0,93; 1,18] 2,2 m vs. 2,7 m p = 0,4658	HR 1,020 [0,905; 1,150] ^c 7,6 m vs. 8,0 m p = 0,7332
EGFR-mutations-positiv	44	42,1 % vs. 21,1 % [-8,2 %; 46,0 %]	HR 0,16 [0,05; 0,49] 7,0 m vs. 4,1 m p = 0,0012	HR 0,83 [0,41; 1,67] 14,2 m vs. 16,6 m p = 0,6043
EGFR-mutations-negativ	253	6,6 % vs. 9,8 % [-10,5 %; 4,4 %]	HR 1,24 [0,94; 1,64] 1,7 m vs. 2,6 m p = 0,1353	HR 1,02 [0,78; 1,33] 6,4 m vs. 6,0 m p = 0,9131

Zusammenfassung

- Das Vorliegen einer EGFR Mutation ist ein starker prädiktiver Faktor für die Wirksamkeit von Iressa versus Carboplatin/Paclitaxel
- In der 1st line Therapie der NSCLC-Patienten mit positiven EGFR-Mutationsstatus zeigt Iressa:
 - ▣ eine signifikant höhere Ansprechrate (71,2% vs 47,3%; $p = 0,0001$)
 - ▣ ein signifikant längeres progressionsfreies Überleben (9,5 Monate vs 6,3 Monate; $p < 0,0001$)
- Herausforderung für die Praxis: histologische Probe

Mit Iressa steht erstmals eine tatsächlich zielgerichtete Therapie in allen Therapielinien zur Verfügung, die in der Erstlinientherapie eine bessere Alternative zur bisherigen Chemotherapie bietet